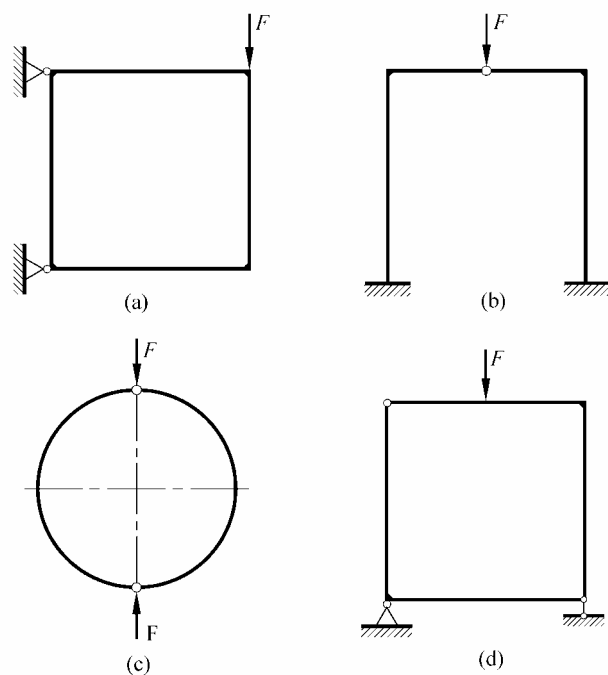


第十四章 静不定问题分析

题号	页码
14-1	1
14-2	2
14-3	4
14-4	7
14-5	9
14-7	10
14-8	12
14-10	14
14-11	15
14-12	17
14-13	19
14-14	21
14-15	22
14-16	27
14-18	28
14-20	29
14-21	31

(也可通过左侧题号书签直接查找题目与解)

14-1 试判断图示各结构的静不定度。



题 14-1 图

解：(a) 在平面受力时，一个封闭框有三个多余约束，此问题又多一个外约束，故为四度静不定。

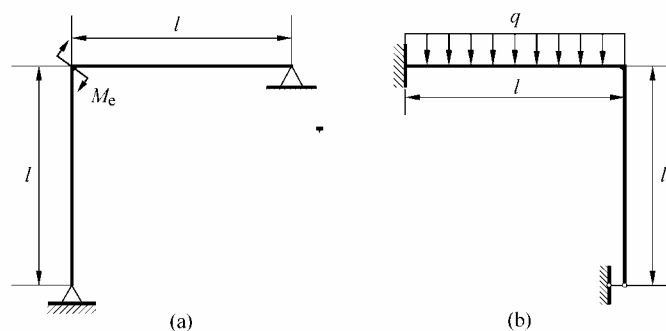
(b) 若无中间铰，两边的刚架分开，二者均为静定刚架。安此中间铰，使相连处在 x 、 y 两个方向的相对位移均受到约束，故为二度静不定。

另一种分析方法是搭结构法，以左边的静定刚架为基础，搭上右边的刚架需要加三个约束，中间铰已提供了两个，右下端只需再加一个约束就可以了，可现在加了三个约束（固定端），故为二度静不定。

(c) 在平面受力时，一个圆环有三个多余约束，安一个中间铰，减少一个约束，现安有两个中间铰，故为一度静不定。

(d) 在平面受力时，一个封闭框有三个多余约束，此框在左上角和右下角各有一个中间铰，减去两个约束，故为一度静不定。

14-2 图示各刚架，弯曲刚度 EI 均为常数。试求支反力，并画弯矩图。



题 14-2 图

(a) 解：法 1，常规解法

此为一度静不定问题。

如图 14-2a(1)所示，解除 B 处水平约束，代以多余反力 F_{Bx} 。

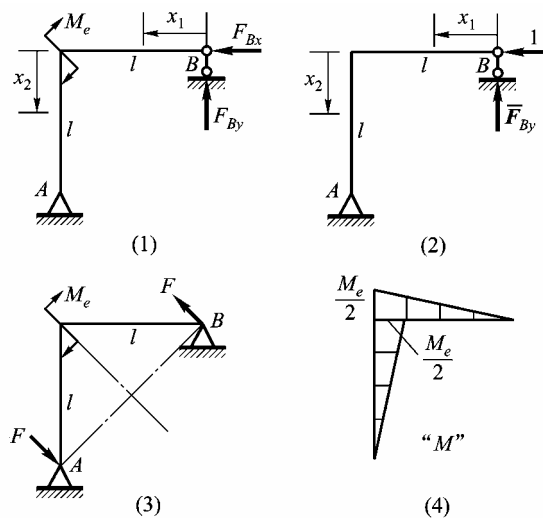


图 14-2a

由 $\sum M_A = 0$ ，得

$$F_{By} = \frac{M_e}{l} - F_{Bx}$$

据图 (1) 与图 (2)，列弯矩方程如下：

$$M(x_1) = \left(\frac{M_e}{l} - F_{Bx} \right) x_1, \quad M(x_2) = F_{Bx} x_2 - F_{Bx} l$$

$$\bar{M}(x_1) = -x_1, \quad \bar{M}(x_2) = x_2 - l$$

将其代入

$$\Delta_{Bx} = \frac{1}{EI} \int_0^l \bar{M}(x_1) M(x_1) dx_1 + \frac{1}{EI} \int_0^l \bar{M}(x_2) M(x_2) dx_2$$

并利用协调条件 $\Delta_{Bx} = 0$ ，可得

$$F_{Bx} = \frac{M_e}{2l} \quad ()$$

依据平衡条件，进而可得

$$F_{By} = \frac{M_e}{2l} \quad (), \quad F_{Ax} = \frac{M_e}{2l} \quad (), \quad F_{Ay} = \frac{M_e}{2l} \quad (),$$

法 2，利用反对称性求解

见图 (3)，可直接得到合支反力 F ，

$$F = \frac{M_e}{\sqrt{2}l}$$

将其分解，所得结果与法 1 完全相同。

弯矩图如图 (4) 所示。

(b) 解：此为一度静不定问题。

载荷状态及单位状态如图 14-2b 所示。

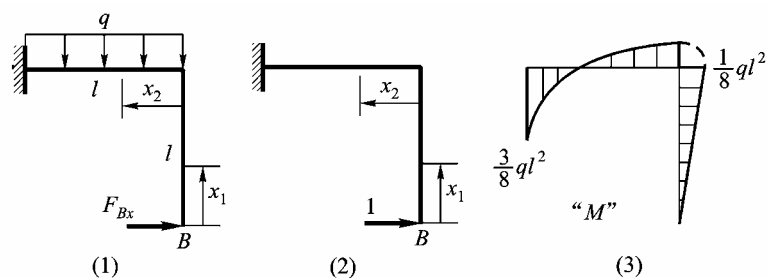


图 14-2b

弯矩方程为

$$M(x_1) = F_{Bx}x_1, \quad M(x_2) = F_{Bx}l - \frac{q}{2}x_2^2$$

$$\bar{M}(x_1) = x_1, \quad \bar{M}(x_2) = l$$

将其代入

$$\Delta_{Bx} = \frac{1}{EI} \int_0^l \bar{M}(x_1)M(x_1)dx_1 + \frac{1}{EI} \int_0^l \bar{M}(x_2)M(x_2)dx_2$$

积分后，得

$$\Delta_{Bx} = \frac{1}{EI} \left(\frac{4}{3} F_{Bx} l^3 - \frac{ql^4}{6} \right)$$

代入协调条件

$$\Delta_{Bx} = 0$$

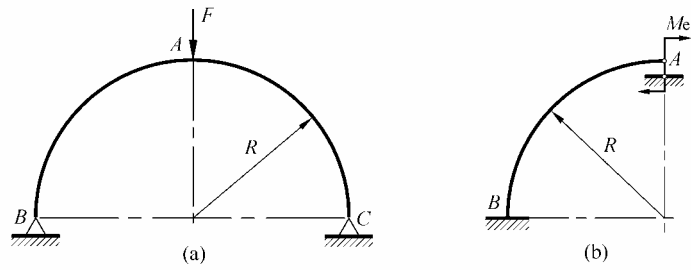
得

$$F_{Bx} = \frac{ql}{8}$$

弯矩图如图 (3) 所示。

14-3 图示圆弧形小曲率杆，弯曲刚度 EI 为常数。试求支反力。对于题(b)，并计算截面

A 的水平位移。



题 14-3 图

(a) 解：此为一度静不定问题。

由对称性可得

$$F_{By} = F_{Cy} = \frac{F}{2} \quad ()$$

又由于对称性 ($\theta_A=0$), 求 C_x 的载荷状态及单位状态可示如图 14-3a。

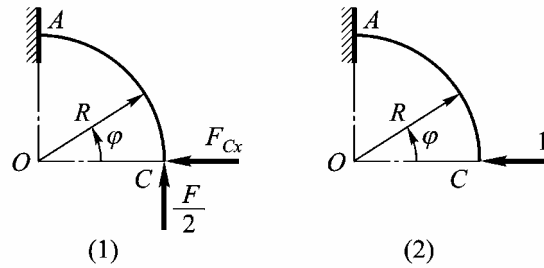


图 14-3a

弯矩方程为

$$M(\varphi) = F_{Cx} R \sin \varphi - \frac{F}{2} R (1 - \cos \varphi)$$

$$\overline{M}(\varphi) = R \sin \varphi$$

将其代入

$$\Delta_{Cx} = \frac{1}{EI} \int_0^{\frac{\pi}{2}} \overline{M}(\varphi) M(\varphi) R d\varphi$$

积分后，得

$$\Delta_{Cx} = \frac{R^3}{EI} \left(\frac{\pi}{4} F_{Cx} - \frac{F}{4} \right)$$

代入协调条件

$$\Delta_{Cx} = 0$$

得

$$F_{Cx} = \frac{F}{\pi} \quad ()$$

进而求得

$$F_{Bx} = \frac{F}{\pi} \quad ()$$

(b) 解：此为一度静不定问题。

求 Δ_{Ay} 的载荷状态及单位状态可示如图 14-3b。

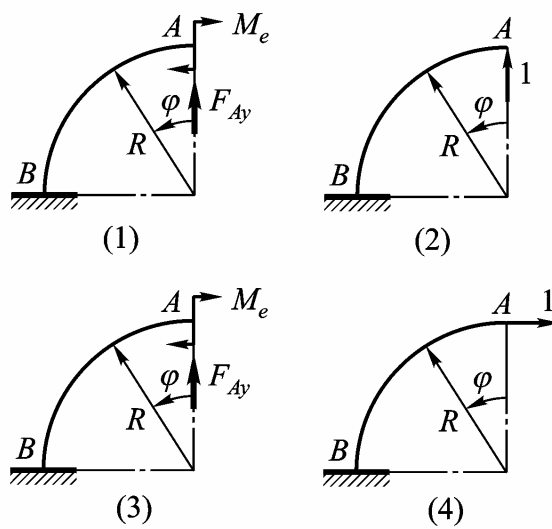


图 14-3b

弯矩方程为

$$M(\varphi) = M_e - F_{Ay} R \sin \varphi$$

$$\overline{M}(\varphi) = -R \sin \varphi$$

将其代入

$$\Delta_{Ay} = \frac{1}{EI} \int_0^{\frac{\pi}{2}} \overline{M}(\varphi) M(\varphi) R d\varphi$$

积分后，得

$$\Delta_{Ay} = \frac{R^2}{EI} \left(\frac{\pi}{4} F_{Ay} R - M_e \right)$$

代入协调条件

$$\Delta_{Ay} = 0$$

得

$$F_{Ay} = \frac{4M_e}{\pi R} \quad ()$$

进而求得

$$F_{Bx} = 0, \quad F_{By} = \frac{4M_e}{\pi R} \quad (), \quad M_B = \frac{4-\pi}{\pi} M_e \quad (\cup)$$

求 Δ_{Ax} 的载荷状态及单位状态示如图 (3) 和 (4)。

弯矩方程为

$$M(\varphi) = M_e - \frac{4M_e}{\pi} \sin \varphi$$

$$\overline{M}(\varphi) = R(1 - \cos \varphi)$$

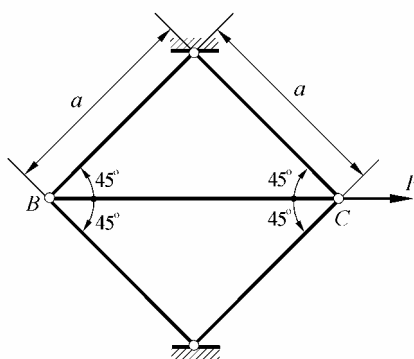
将其代入

$$\Delta_{Ax} = \frac{1}{EI} \int_0^{\frac{\pi}{2}} \overline{M}(\varphi) M(\varphi) R d\varphi$$

积分后, 得到

$$\Delta_{Ax} = \frac{(\pi^2 - 2\pi - 4)}{2\pi} \frac{M_e R^2}{EI} = -0.0658 \frac{M_e R^2}{EI} \quad ()$$

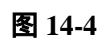
14-4 图示桁架, 各杆各截面的拉压刚度均为 EA 。试求杆 BC 的轴力。



题 14-4 图

解：此为一度静不定问题。

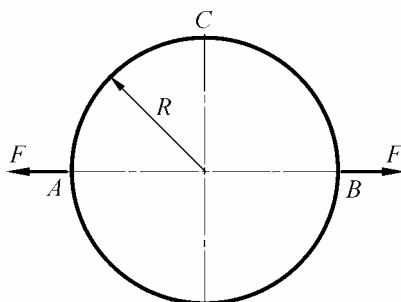
求 $\Delta_{e/e'}$ 的载荷状态及单位状态如图 14-4a 和 b 所示。



i	l_i	\overline{F}_{Ni}	F_{Ni}	$\overline{F}_{Ni} F_{Ni} l_i$
1	a	$-\frac{1}{\sqrt{2}}$	$-\frac{F_{N5}}{\sqrt{2}}$	$\frac{F_{N5}a}{2}$
2	a	$-\frac{1}{\sqrt{2}}$	$\frac{F - F_{N5}}{\sqrt{2}}$	$\frac{(F_{N5} - F)a}{2}$
3	a	$-\frac{1}{\sqrt{2}}$	$\frac{F - F_{N5}}{\sqrt{2}}$	$\frac{(F_{N5} - F)a}{2}$
4	a	$-\frac{1}{\sqrt{2}}$	$-\frac{F_{N5}}{\sqrt{2}}$	$\frac{F_{N5}a}{2}$
5	$\sqrt{2}a$	1	F_{N5}	$\sqrt{2}F_{N5}a$
Σ				$(2 + \sqrt{2})F_{N5}a - Fa$

$$\Delta_{e/e'} = \frac{\sum_{i=1}^5 \bar{F}_{N_i} F_{N_i} l_i}{EA} = \frac{(2 + \sqrt{2}) F_{N5} a - Fa}{EA}$$
$$\Delta_{e/e'} = 0$$
$$F_{NBC} = F_{N5} = \frac{2 - \sqrt{2}}{2} F$$

14-5 图示小曲率圆环，承受载荷 F 作用。试求截面 A 与 C 的弯矩以及截面 A 与 B 的相对线位移。设弯曲刚度 EI 为常数。



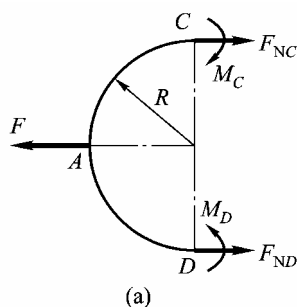
题 14-5 图

解：1. 求 M_A 和 M_C

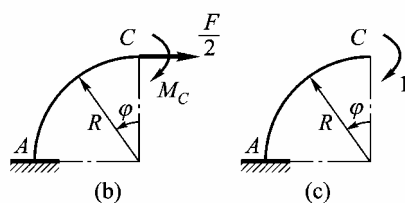
此为三度静不定问题。有双对称性可利用。

由对称条件可得（图 14-5a）

$$F_{NC} = F_{ND} = \frac{F}{2}$$



(a)



(b)

(c)

图 14-5

由双对称性可知，

$$\theta_C = 0, \quad \theta_A = 0$$

据此可方便地求出 M_C 。求 θ_C 的载荷状态及单位状态示如图 b 和 c。

弯矩方程为

$$M(\varphi) = M_C + \frac{F}{2} R(1 - \cos \varphi)$$

$$\overline{M}(\varphi) = 1$$

将其代入

$$\theta_C = \frac{1}{EI} \int_0^{\frac{\pi}{2}} \overline{M}(\varphi) M(\varphi) R d\varphi$$

积分后，代入协调条件

$$\theta_C = 0$$

可得

$$M_C = -\frac{\pi-2}{2\pi} FR$$

进而可求得

$$M_A = \frac{FR}{\pi}$$

2. 求 $\Delta_{A/B}$

令原题图中的 $F=1$ ，即为求 $\Delta_{A/B}$ 的单位状态。

依据图 a，可以写出弯矩方程如下：

$$M(\varphi) = -\frac{\pi-2}{2\pi} FR + \frac{F}{2} R(1 - \cos\varphi)$$

$$\overline{M}(\varphi) = -\frac{\pi-2}{2\pi} R + \frac{R}{2}(1 - \cos\varphi)$$

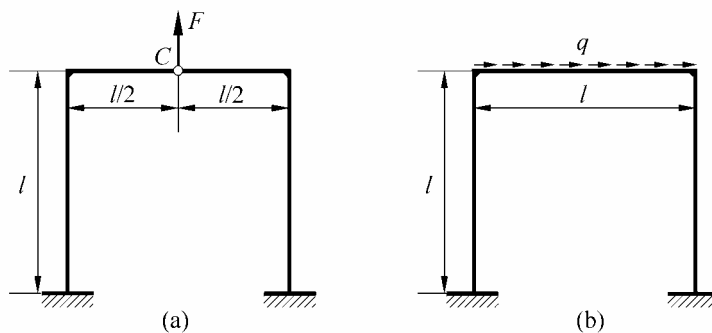
将其代入

$$\Delta_{A/B} = \frac{4}{EI} \int_0^{\frac{\pi}{2}} \overline{M}(\varphi) M(\varphi) R d\varphi$$

积分后，得到

$$\Delta_{A/B} = \frac{(\pi^2 - 8)}{4\pi} \frac{FR^3}{EI} = 0.1488 \frac{FR^3}{EI} \quad ()$$

14-7 试画图示刚架的弯矩图。设弯曲刚度 EI 为常数。



题 14-7 图

(a) 解：此为二度静不定问题。有对称性可利用。

如图 14-7a 所示，由于 C 处有铰，所以 $M_C = 0$ ；又由于 C 处在对称位置，故知其 $F_S = 0$ 。

铰 C 左右两边各受切向载荷 $F/2$ 。相当系统（取左边一半）如图 (1) 所示，待求未知力仅有 F_{NC} 一个。

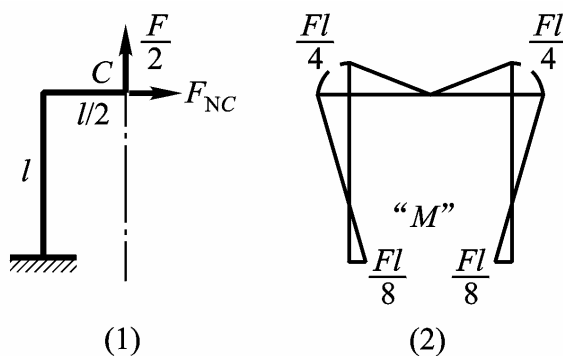


图 14-7a

求截面 C 的水平位移 Δ_{Cx} ，并根据对称条件，有

$$\Delta_{Cx} = 0$$

由此得到

$$F_{NC} = \frac{3}{8}F \quad ()$$

弯矩图如图 (2) 所示，其最大弯矩为

$$|M|_{\max} = \frac{Fl}{4}$$

(b) 解：此为三度静不定问题。有反对称性可利用。

在结构对称面 C 处假想切开，由于反对称，故有

$$F_{NC} = 0, \quad M_C = 0$$

待求未知内力仅有 F_{SC} 一个。

求 Δ_{Cy} 的载荷状态及单位状态如图 14-7b 所示。

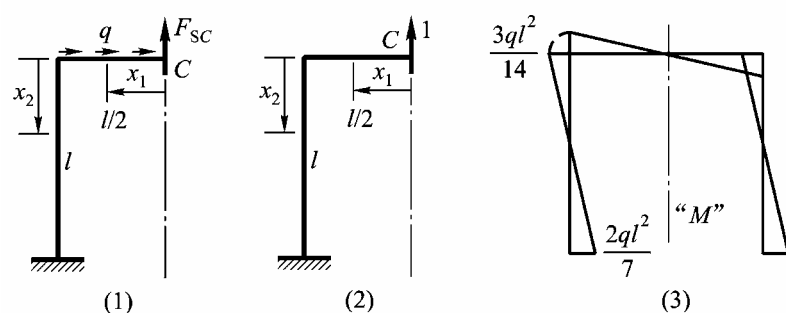


图 14-7b

弯矩方程为

$$\begin{aligned} M(x_1) &= F_{SC}x_1, & M(x_2) &= F_{SC}\frac{l}{2} - \frac{ql}{2}x_2 \\ \bar{M}(x_1) &= x_1, & \bar{M}(x_2) &= \frac{l}{2} \end{aligned}$$

将其代入

$$\Delta_{Cy} = \frac{1}{EI} \int_0^{\frac{l}{2}} \bar{M}(x_1)M(x_1)dx_1 + \frac{1}{EI} \int_0^l \bar{M}(x_2)M(x_2)dx_2$$

积分后，得

$$\Delta_{Cy} = \frac{7F_{SC}l^3 - 3ql^4}{24EI}$$

代入协调条件

$$\Delta_{Cy} = 0$$

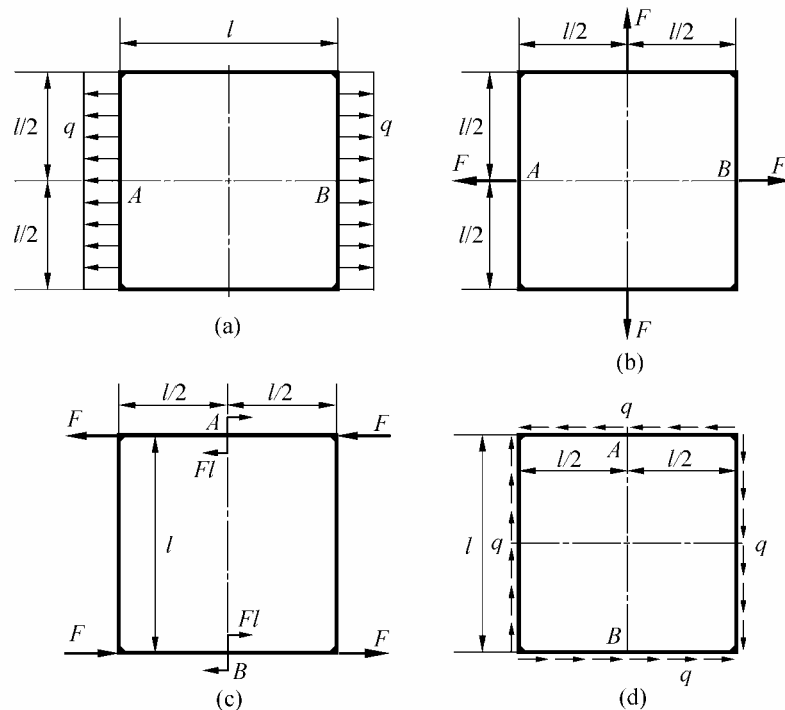
得

$$F_{SC} = \frac{3}{7}ql \quad ()$$

弯矩图如图 (3) 所示，其最大弯矩为

$$|M|_{\max} = \frac{2ql^2}{7}$$

14-8 试画图示各刚架的弯矩图，并计算截面 A 与 B 沿 AB 连线方向的相对线位移。设弯曲刚度 EI 为常数。



题 14-8 图

提示：本题 a~d 均为三度静不定问题。其中，a 与 b 均为双对称问题。对称面上 $F_S = 0$ ， F_N 可由静力平衡条件求出，只剩下一个未知内力待求，依据协调条件（切口两边相对转角为零）即可求出。c 与 d 均为双反对称问题，结构对称面上只有 F_S 待求，而且可由静力平衡条件求出。

由于问题比较简单，这里拟直接给出结果。

(a)

$$M_{\max} = \frac{ql^2}{12}, \quad \Delta_{A/B} = \frac{ql^4}{64EI} \quad ()$$

(b)

$$M_{\max} = \frac{Fl}{8}, \quad \Delta_{A/B} = \frac{Fl^3}{96EI} \quad ()$$

(c)

$$M_{\max} = \frac{Fl}{2}, \quad \Delta_{A/B} = 0$$

(d)

$$M_{\max} = \frac{ql^2}{4}, \quad \Delta_{A/B} = 0$$

弯矩图见图 14-8。

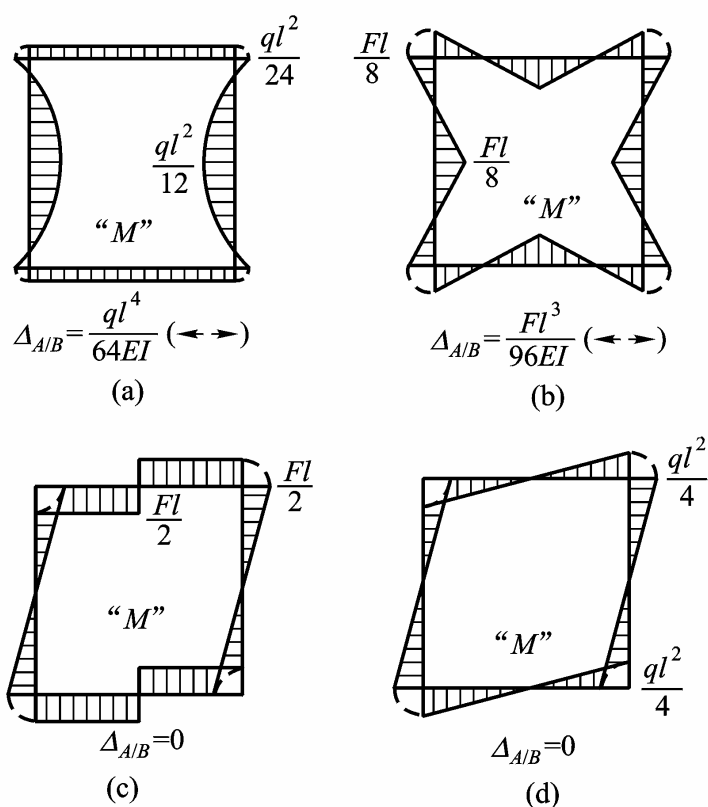
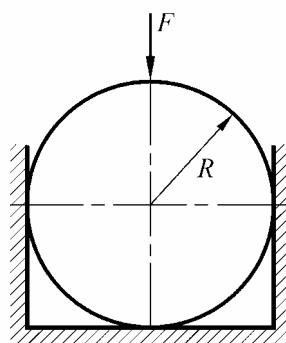


图 14-8

14-10 图示小曲率圆环，承受载荷 F 作用。试计算支反力。设弯曲刚度 EI 为常数。



题 14-10 图

解：此为四度静不定问题。有双对称条件可以利用。

若圆环无左右刚壁约束，由题 14-5 之解可得

$$F_{NC} = F_{ND} = -\frac{F}{2} \quad (\text{负号代表压力})$$

$$M_C = M_D = \frac{\pi - 2}{2\pi} FR, \quad M_A = M_B = -\frac{FR}{2}$$

由 F 引起的 Δ'_{CD} 可根据图 14-10a 和 b 来算。

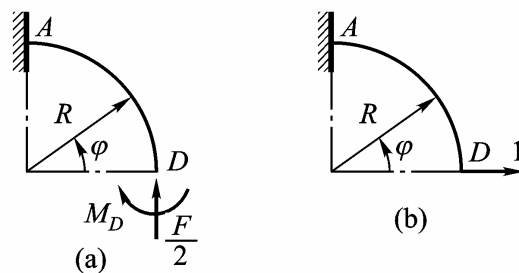


图 14-10

弯矩方程为

$$M(\varphi) = \frac{\pi - 2}{2\pi} FR - \frac{F}{2} R(1 - \cos\varphi)$$

$$\bar{M}(\varphi) = -R\sin\varphi$$

将其代入

$$\Delta'_{C/D} = \frac{2}{EI} \int_0^{\frac{\pi}{2}} \bar{M}(\varphi) M(\varphi) R d\varphi$$

积分后, 得

$$\Delta'_{C/D} = \frac{(4 - \pi)FR^3}{2\pi EI} \quad ()$$

设 C 与 D 处的水平反力为 F_x , 根据题 14-5 所得的 $\Delta_{A/B}$, 这里有 F_x 引起的 $\Delta''_{C/D}$,

$$\Delta''_{C/D} = -\frac{(\pi^2 - 8)}{4\pi} \frac{F_x R^3}{EI} \quad ()$$

代入协调条件

$$\Delta_{C/D} = \Delta'_{C/D} + \Delta''_{C/D} = 0$$

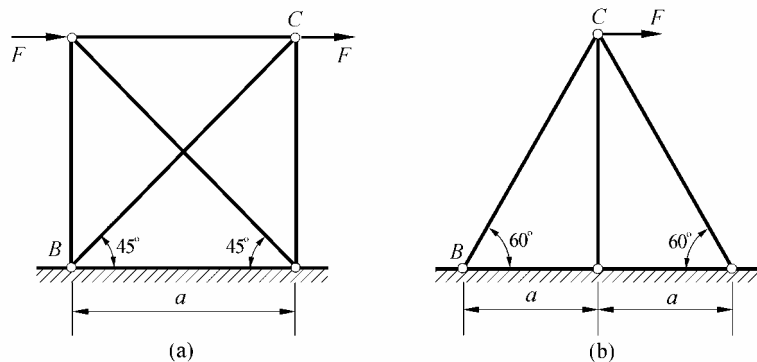
最后得

$$F_x = \frac{8 - 2\pi}{\pi^2 - 8} F \quad ()$$

B 处支反力为

$$F_{By} = F \quad ()$$

14-11 图示桁架, 承受载荷 $F = 80\text{kN}$ 作用, 各杆各截面的拉压刚度均为 EA 。试求杆 BC 的角位移。



题 14-11 图

(a) 解：此为一度静不定问题。由图 14-11a (1) 可知，因为反对称，所以有

$$F_{N2} = 0$$

又据图 (2) 可得

$$F_{N3} = -F \text{ (压)}, F_{N5} = \sqrt{2}F$$

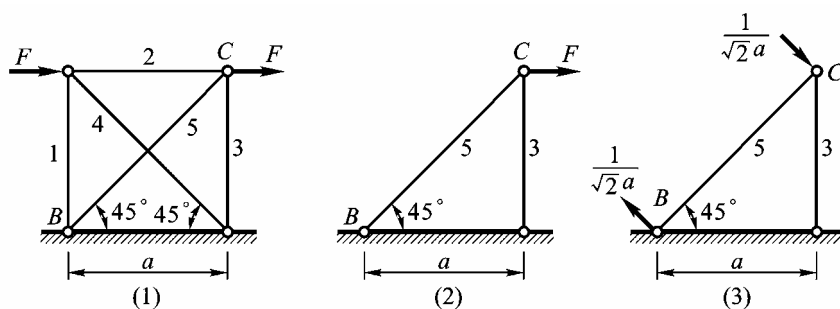


图 14-11a

求 θ_{BC} 的载荷状态及单位状态可简画如图 (2) 和 (3)。计算过程归纳如下表：

i	l_i	\overline{F}_{Ni}	F_{Ni}	$\overline{F}_{Ni} F_{Ni} l_i$
3	a	$-\frac{1}{a}$	$-F$	F
5	$\sqrt{2}a$	$\frac{1}{\sqrt{2}a}$	$\sqrt{2}F$	$\sqrt{2}F$
Σ				$(1 + \sqrt{2})F$

于是得

$$\theta_{BC} = \frac{\sum \bar{F}_{Ni} F_{Ni} l_i}{EA} = \frac{(1+\sqrt{2})F}{EA} \quad (\cup)$$

(b) 解：此为一度静不定问题。由图 14-11b (1) 可知，由于反对称，故有

$$F_{N2} = 0$$

进而可得

$$F_{N1} = F, \quad F_{N3} = -F \quad (\text{压})$$

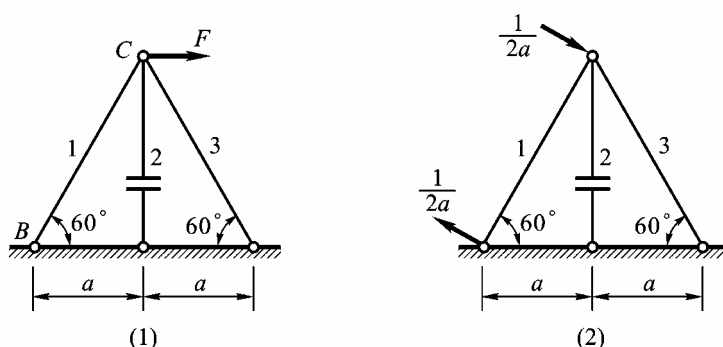


图 14-11b

求 θ_{BC} 的载荷状态及单位状态如图 (1) 和 (2) 所示，杆 2 均视为被切断。计算过程归纳如下

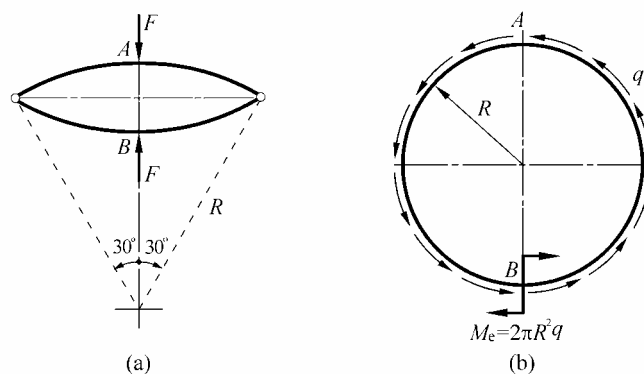
表：

i	l_i	\bar{F}_{Ni}	F_{Ni}	$\bar{F}_{Ni} F_{Ni} l_i$
1	$2a$	$\frac{1}{2\sqrt{3}a}$	F	$\frac{F}{\sqrt{3}}$
3	$2a$	$-\frac{1}{\sqrt{3}a}$	$-F$	$\frac{2F}{\sqrt{3}}$
Σ				$\sqrt{3}F$

于是得

$$\theta_{BC} = \frac{\sum \bar{F}_{Ni} F_{Ni} l_i}{EA} = \frac{\sqrt{3}F}{EA} \quad (\cup)$$

14-12 图示结构 (均为小曲率圆杆)，弯曲刚度 EI 为常数。试计算截面 A 与 B 沿 AB 连线方向的相对线位移。



题 14-12 图

(a) 解：此为一度静不定问题。有双对称条件可以利用。

取上半部分来分析，受力如图 14-12a 所示。此即为求 A/B 的载荷状态，将 F 换成 1，即为求 A/B 的单位状态。

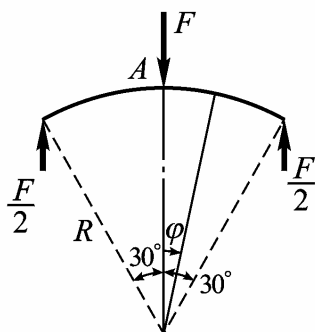


图 14-12a

取 φ 如图（这样取计算较方便），弯矩方程为

$$M(\varphi) = \frac{FR}{2} \left(\frac{1}{2} - \sin \varphi \right)$$

$$\overline{M}(\varphi) = \frac{R}{2} \left(\frac{1}{2} - \sin \varphi \right)$$

将其代入

$$\Delta_{A/B} = \frac{4}{EI} \int_0^{\pi/6} \overline{M}(\varphi) M(\varphi) R d\varphi$$

积分后，得

$$\Delta_{A/B} = \frac{(+3\sqrt{3} - 8)FR^3}{8EI} = 0.0422 \frac{FR^3}{EI}$$

(b) 解：此为三度静不定问题。有反对称条件可以利用。

先求内力。取相当系统如图 14-12b(1)，另二内力均为零，图中未画。

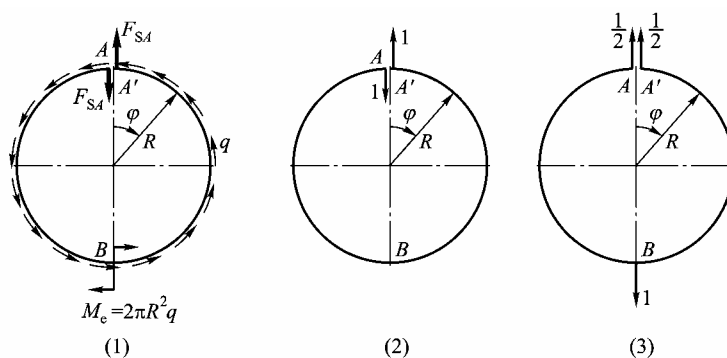


图 14-12b

求 A/A' 的载荷状态及单位状态示如图 (1) 和 (2)，弯矩方程为

$$M(\varphi) = qR^2(\varphi - \sin\varphi) - F_{SA}R\sin\varphi$$

$$\overline{M}(\varphi) = -R\sin\varphi$$

将其代入

$$\Delta_{A/A'} = \frac{2}{EI} \int_0^\pi \overline{M}(\varphi) M(\varphi) R d\varphi$$

积分后，代入协调条件 $\Delta_{A/A'} = 0$ ，可得

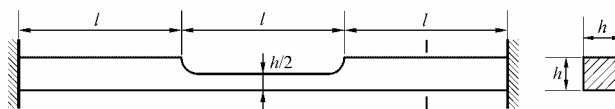
$$F_{SA} = qR$$

求 A/B 的载荷状态及单位状态如图 (1) 和 (3) 所示。

由于 $M(\varphi)$ 左右异号，而 $\overline{M}(\varphi)$ 左右同号，不难判断，二者相乘后的积分值必为零，即

$$\Delta_{A/B} = 0$$

14-13 图示两端固定杆，如果温度升高 T ，试计算杆内的最大正应力。材料的弹性模量为 E ，线膨胀系数为 α_l ，截面宽度不变。



题 14-13 图

解：此为三度静不定问题。有对称条件可以利用。

1. 求对称面 C 上的内力

载荷状态、求 Δ_{Cx} 的单位状态及求 θ_C 的单位状态分别示如图 14-13a,b 和 c。

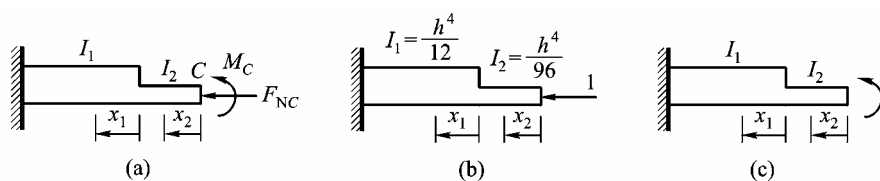


图 14-13

求 Δ_{Cx} 的内力方程为

$$\begin{aligned} F_N(x_1) &= F_{NC}, & F_N(x_2) &= F_{NC} \\ \bar{F}_N(x_1) &= 1, & \bar{F}_N(x_2) &= 1 \\ M(x_1) &= M_C - F_{NC} \frac{h}{4}, & M(x_2) &= M_C \\ \bar{M}(x_1) &= -\frac{h}{4}, & \bar{M}(x_2) &= 0 \end{aligned}$$

将其代入

$$\Delta_{Cx} = \sum_{i=1}^2 \frac{\bar{F}_{Ni} F_{Ni} l_i}{EA_i} + \frac{1}{EI_1} \int_0^l \bar{M}(x_1) M(x_1) dx_1$$

算得

$$\Delta_{Cx} = \frac{11l}{4Eh^2} F_{NC} - \frac{3l}{Eh^3} M_C = \frac{3}{2} \alpha_l Tl \quad (1)$$

求 θ_C 的内力方程为

$$\begin{aligned} M(x_1) &= M_C - F_{NC} \frac{h}{4}, & M(x_2) &= M_C \\ \bar{M}(x_1) &= 1, & \bar{M}(x_2) &= 1 \end{aligned}$$

将其代入

$$\theta_C = \frac{1}{EI_1} \int_0^l \bar{M}(x_1) M(x_1) dx_1 + \frac{1}{EI_2} \int_0^{\frac{l}{2}} \bar{M}(x_2) M(x_2) dx_2$$

积分后，得

$$\theta_C = \frac{12l}{Eh^4} \left(M_C - \frac{F_{NC}h}{4} \right) + \frac{48l}{Eh^4} M_C = 0 \quad (2)$$

联解方程 (1) 与 (2), 得

$$M_C = \frac{3}{104} \alpha_l T E h^3, \quad F_{NC} = \frac{15}{26} \alpha_l T E h^2$$

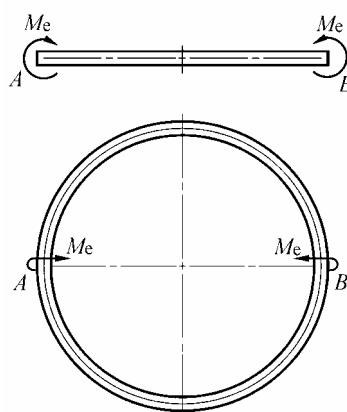
2. 求杆内的最大正应力

最大正应力存在于该杆中段, 其值为

$$\sigma_{\max} = \frac{6M_C}{h \left(\frac{h}{2} \right)^2} + \frac{2F_{NC}}{h^2} = \left(\frac{9}{13} + \frac{15}{13} \right) E \alpha_l T = 1.846 E \alpha_l T$$

14-14 图示小曲率圆环, 承受矩为 M_e 的力偶作用, 试计算截面 A 与 B 间的相对转角。

已知圆环的平均半径为 R , 横截面的直径为 d , 弹性模量为 E , 切变模量为 G 。



题 14-14 图

解: 此为六度静不定问题。有双对称条件及平面-空间问题的规律可以利用。

设竖向直径两端截面为 C 和 D , 由于 C 为对称截面, 故有反对称内力素为零, 即

$$F_{SyC} = F_{SzC} = T_C = 0$$

又由于这是平面-空间问题 (即平面结构、外载荷均垂直于结构平面的问题), 故有结构平面内的内力素为零, 即

$$F_{NC} = M_{zC} = 0$$

由此可知, 截面 C (或 D) 待求未知内力只剩下 M_{yC} (或 M_{yD}) 一个 (见图 14-14a)。

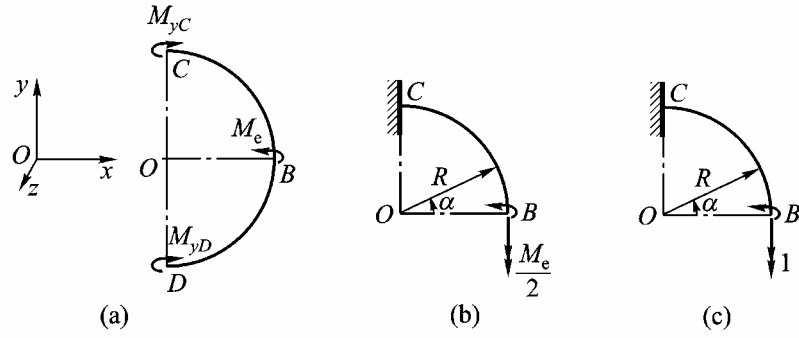


图 14-14

由于双对称，故有

$$M_{yC} = M_{yD}$$

由图 a 可得

$$M_{yC} = M_{yD} = \frac{M_e}{2}$$

由于双对称，求 $\varphi_{A/B}$ 的载荷状态及单位状态可示如图 b 和 c。

内力方程为

$$\begin{aligned} T(\alpha) &= \frac{M_e}{2} \cos \alpha, & M(\alpha) &= \frac{M_e}{2} \sin \alpha \\ \bar{T}(\alpha) &= \cos \alpha, & \bar{M}(\alpha) &= \sin \alpha \end{aligned}$$

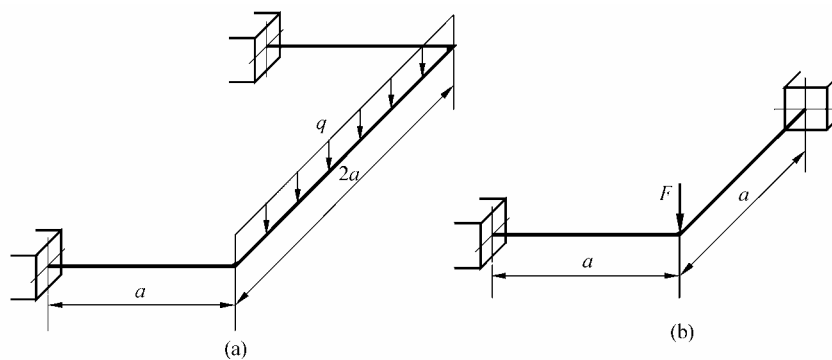
将其代入

$$\varphi_{A/B} = \frac{2}{GI_p} \int_0^{\frac{\pi}{2}} \bar{T}(\alpha) T(\alpha) R d\alpha + \frac{2}{EI} \int_0^{\frac{\pi}{2}} \bar{M}(\alpha) M(\alpha) R d\alpha$$

积分后，得截面 A 与 B 之间的相对转角为

$$\varphi_{A/B} = \frac{\pi M_e R}{4I} \left(\frac{1}{2G} + \frac{1}{E} \right) = \frac{8 M_e R}{d^4} \left(\frac{1}{G} + \frac{2}{E} \right)$$

14-15 图示等截面刚架，横截面为圆形，材料的弹性模量为 E ，泊松比为 $\mu = 0.3$ 。试画刚架的弯矩图与扭矩图。



题 14-15 图

(a) 解：此为六度静不定问题。有对称条件及平面-空间问题的规律可以利用。

如图 14-15a (1) 所示，在对称截面 C 处“切开”，有

$$F_{SxC} = F_{SzC} = T_C = 0$$

由于是平面-空间问题，故有

$$F_{NC} = M_{zC} = 0$$

至此，待求的未知内力只剩下 M_{xC} 。

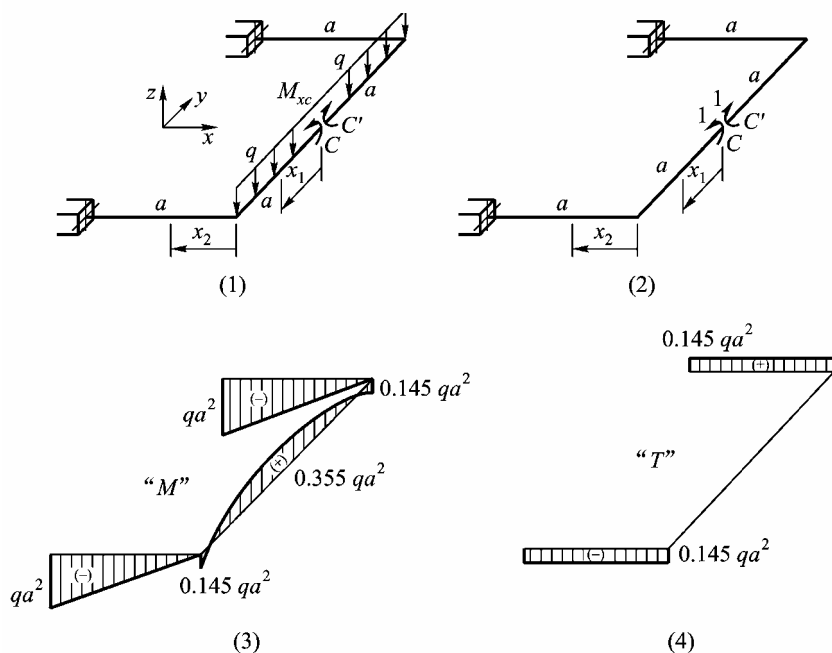


图 14-15a

变形协调条件为

$$\theta_{xC/C'} = 0$$

求 $\theta_{xC/C'}$ 的载荷状态及单位状态示如图 (1) 和 (2)。内力方程为

$$M_x(x_1) = M_{xC} - \frac{q}{2}x_1^2, \quad T(x_2) = M_{xC} - \frac{q}{2}a^2$$

$$\bar{M}_x(x_1) = 1, \quad \bar{T}(x_2) = 1$$

由于 $\bar{M}(x_2) = 0$ ，故 $M(x_2)$ 也可省写。

将内力方程代入

$$\theta_{xC/C'} = \frac{1}{EI_x} \int_0^a \bar{M}_x(x_1) M_x(x_1) dx_1 + \frac{1}{GI_p} \int_0^a \bar{T}(x_2) T(x_2) dx_2$$

积分后，得

$$\theta_{xC/C'} = \frac{a}{EI_x} \left[M_{xC} - \frac{qa^2}{6} + (1+\mu)M_{xC} - \frac{1+\mu}{2}qa^2 \right] = 0$$

注意到 $\mu=0.3$ ，故有

$$M_{xC} = 0.355qa^2$$

上述计算中用到

$$GI_p = \frac{E}{2(1+\mu)}(2I_x) = \frac{EI_x}{1+\mu}$$

M_{xC} 求出后，可画内力图了。该刚架的弯矩图和扭矩图如图 (3) 和 (4) 所示，其中，

$$|M|_{\max} = qa^2, \quad T_{\max} = 0.145qa^2$$

(b) 解：法 1，解除多余约束

此为六度静不定问题。有对称条件及平面-空间问题的规律可以利用。

此静不定刚架的相当系统如图 14-15b (1) 所示。 A 端解除多余约束后，由于对称性（关于 45° 铅垂面对称），可得

$$F_{S_{zA}} = \frac{F}{2} \quad ()$$

由于是平面-空间问题，故有

$$F_{N_A} = F_{S_{yA}} = M_{zA} = 0$$

实际上，待求的未知多余反力只剩下 M_{yA} 和 T_A 。

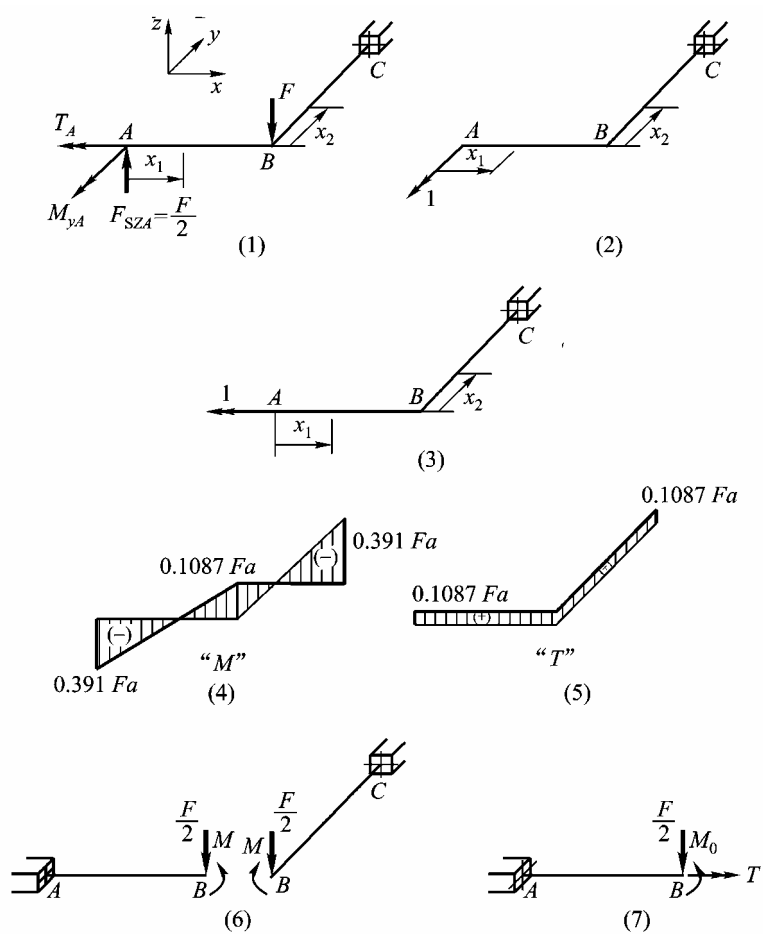


图 14-15b

求 θ_{yA} 和 φ_A 的单位状态示如图 (2) 和 (3)。

内力方程为

$$\begin{aligned} M_y(x_1) &= M_{yA} - \frac{F}{2}x_1, & T(x_1) &= T_A \\ \bar{M}_y(x_1) &= 1, & \bar{T}(x_1) &= 1 \\ T(x_2) &= M_{yA} - \frac{F}{2}a, & M_x(x_2) &= T_A - \frac{F}{2}x_2 \\ \bar{T}(x_2) &= 1, & \bar{M}_x(x_2) &= 1 \end{aligned}$$

将其代入

$$\theta_{yA} = \frac{1}{EI} \int_0^a \bar{M}_y(x_1) M_y(x_1) dx_1 + \frac{1}{GI_p} \int_0^a \bar{T}(x_2) T(x_2) dx_2$$

及

$$\varphi_A = \frac{1}{GI_p} \int_0^a \overline{T}(x_1) T(x_1) dx_1 + \frac{1}{EI} \int_0^a \overline{M}_x(x_2) M_x(x_2) dx_2$$

完成积分，并代入协调条件

$$\theta_{yA} = 0, \quad \varphi_A = 0$$

得方程

$$\frac{a}{EI} \left(M_{yA} - \frac{Fa}{4} \right) + \frac{(1+\mu)a}{EI} \left(M_{yA} - \frac{Fa}{2} \right) = 0$$

及

$$\frac{(1+\mu)T_A a}{EI} + \frac{a}{EI} \left(T_A - \frac{Fa}{4} \right) = 0$$

依次解得

$$M_{yA} = \frac{9}{23} Fa = 0.391Fa, \quad T_A = \frac{5}{46} Fa = 0.1087Fa$$

刚架的弯矩图和扭矩图如图 (4) 和 (5)。

法 2，解除多余内约束

此题亦可在对称面处切开(解除多余内约束)，从而得到原静不定刚架的相当系统，如图 13-15b (6) 所示。由平面-空间问题的规律可知，被切截面上只有一种内力偶矩 M 存在，其矢量是沿铅垂对称面与刚架平面的交线方向 (45° 方向) 的。

取杆段 AB 来分析，将内力偶矩分解(按矢量分解容易看清楚)为弯矩 M_0 和扭矩 T (见图 7)，易知二者的大小相等，即

$$M_0 = T = M \cos 45^\circ \quad (a)$$

由对称性可知，变形协调条件为

$$\theta_{B45^\circ} = \theta_B \cos 45^\circ + \varphi_B \cos 45^\circ = 0 \quad (b)$$

式中， θ_{B45° 为 B 处对称截面的总转角， θ_B 为 B 处横截面由弯矩产生的转角， φ_B 为 B 处横截面由扭矩产生的扭转角。

用单位载荷法不难求出 θ_B 和 φ_B ，其值分别为

$$\theta_B = \frac{1}{EI} \left(M_0 a - \frac{F}{4} a^2 \right) \quad (c)$$

和

$$\varphi_B = \frac{Ta}{GI_p} = \frac{(1+\mu)Ta}{EI} \quad (d)$$

将式 (c) 和 (d) 代入式 (b), 并注意到式 (a), 得

$$\begin{aligned} \theta_{B45^\circ} &= \frac{\sqrt{2}}{2} (\theta_B + \varphi_B) \\ &= \frac{\sqrt{2}}{2} \left[\frac{1}{EI} \left(M_0 a - \frac{F}{4} a^2 \right) + \frac{(1+\mu)M_0 a}{EI} \right] = 0 \end{aligned}$$

由此得

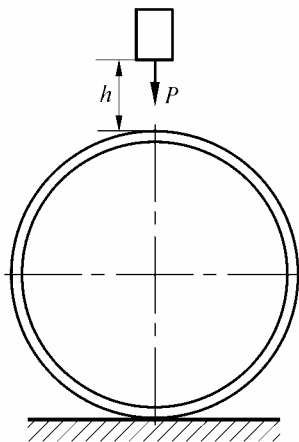
$$(2+\mu)M_0 = \frac{1}{4} Fa$$

即

$$M_0 = T = \frac{Fa}{4(2+\mu)} = \frac{5}{46} Fa = 0.1087 Fa$$

可见, 法 2 所得结果与法 1 的结果是一致的, 弯矩图同图 (4), 扭矩图同图 (5)。

14-16 图示小曲率圆环, 一重量为 P 的物体自高度 h 处自由下落。试计算圆环内的最大正应力。已知圆环的平均半径为 R , 横截面的直径为 d , 弹性模量为 E , 切变模量为 G , 圆环的质量与物体的变形忽略不计。



题 14-16 图

解: 此为三度静不定问题。

1. 求被冲击点的静位移 Δ_{st}

由题 13-5 之解可知，

$$\Delta_{st} = \frac{(\pi^2 - 8)PR^3}{4\pi EI} = 0.1488 \frac{PR^3}{EI} = 3.03 \frac{PR^3}{Ed^4} \quad ()$$

2. 求最大冲击载荷 F_d

$$F_d = P \left(1 + \sqrt{1 + \frac{2h}{\Delta_{st}}} \right)$$

3. 计算圆环内的最大正应力 σ_{\max}

由题 13-5 之解还可知， $|M|_{\max}$ 发生在冲击载荷作用处（及铅垂直径下端）截面上，其值为

$$|M|_{\max} = \frac{F_d R}{\pi} = 0.318 F_d R$$

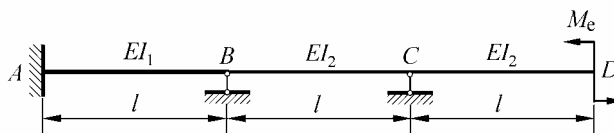
由此得

$$\sigma_{\max} = \frac{|M|_{\max}}{W} = \frac{3.24 PR}{d^3} \left(1 + \sqrt{1 + \frac{2h}{\Delta_{st}}} \right)$$

4. 检查

在水平直径两端的截面上，受 M 、 F_N 联合作用，检查其正应力，其值小于以上所算结果；对任意截面求 $\sigma(\varphi)$ ，进而求极值，未发现新的极大值。

14-18 图示阶梯形梁， $I_1 = 2I_2 = I_0$ 。试用三弯矩方程求解并画弯矩图。



题 14-18 图

解：此为二度静不定问题。

原静不定梁的相当系统示如图 14-18a，待求的未知支点弯矩有 M_0 （即 M_A ）和 M_1 （即 M_B ）。

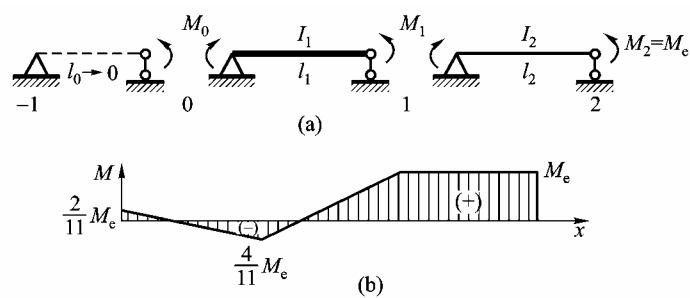


图 14-18

在图 a 中，有

$$M_{-1} = 0, \quad M_2 = M_e, \quad l_0 = 0, \quad l_1 = l_2 = l$$

$$I_1 = I, \quad I_2 = \frac{I}{2}; \quad \omega_0 = \omega_1 = \omega_2 = 0$$

对于支座 0，得三弯矩方程

$$\frac{2M_0 l}{I_1} + \frac{M_1 l}{I_1} = 0 \quad (a)$$

对于支座 1，得三弯矩方程

$$\frac{M_0 l}{I_1} + 2M_1 l \left(\frac{1}{I_1} + \frac{1}{I_2} \right) + \frac{M_e l}{I_2} = 0 \quad (b)$$

方程 (a) 与 (b) 化简后联立求解，得

$$M_0 = \frac{2}{11} M_e, \quad M_1 = -\frac{4}{11} M_e = M_B$$

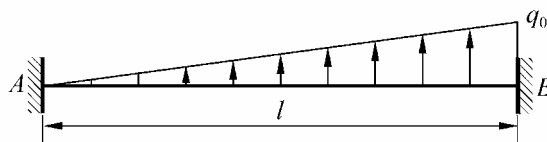
进而求得支反力为

$$F_{yA} = \frac{6M_e}{11l} \quad (\quad), \quad M_A = \frac{2}{11} M_e \quad (\cup),$$

$$F_{yB} = \frac{21M_e}{11l} \quad (\quad), \quad F_{yC} = \frac{15M_e}{11l} \quad (\quad)$$

该梁的弯矩图如图 14-18b 所示。

14-20 试用三弯矩方程求图示梁的支反力。弯曲刚度 EI 为常数。



题 14-20 图

解：此为三度静不定问题。

原静不定梁的相当系统如图 14-20a 所示。AB 段载荷弯矩图示如图 b。

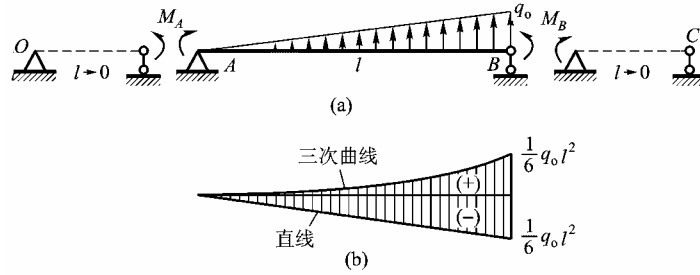


图 14-20

对于支座 A，有

$$M_1 = 0, \quad M_2 = M_A, \quad M_3 = M_B, \quad \omega_1 a_1 = 0$$

$$\omega_2 b_2 = \frac{q_0 l^2}{6} \cdot \frac{l}{4} \cdot \frac{l}{5} - \frac{q_0 l^2}{6} \cdot \frac{l}{2} \cdot \frac{l}{3} = -\frac{7}{360} q_0 l^4$$

由此得三弯矩方程

$$2M_A \left(0 + \frac{l}{I} \right) + M_B \left(\frac{l}{I} \right) = \frac{(-6)}{Il} \times \left(-\frac{7}{360} q_0 l^4 \right)$$

或

$$2M_A + M_B = \frac{7}{60} q_0 l^2 \quad (a)$$

对于支座 B，有

$$M_1 = M_A, \quad M_2 = M_B, \quad M_3 = 0$$

$$\omega_1 a_1 = \frac{q_0 l^2}{6} \cdot \frac{l}{4} \cdot \frac{4l}{5} - \frac{q_0 l^2}{6} \cdot \frac{l}{2} \cdot \frac{2l}{3} = -\frac{1}{45} q_0 l^4$$

$$\omega_2 b_2 = 0$$

由此得三弯矩方程

$$M_A \left(\frac{l}{I} \right) + 2M_B \left(\frac{l}{I} + 0 \right) = \frac{(-6)}{Il} \times \left(-\frac{1}{45} q_0 l^4 \right)$$

或

$$M_A + 2M_B = \frac{2}{15} q_0 l^2 \quad (\text{b})$$

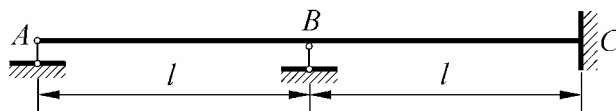
联解方程 (a) 与 (b), 得

$$M_A = \frac{1}{30} q_0 l^2 \quad (\text{c}), \quad M_B = \frac{1}{20} q_0 l^2 \quad (\text{d})$$

进而可求得

$$F_{yA} = \frac{3}{20} q_0 l \quad (\quad), \quad F_{yB} = \frac{7}{20} q_0 l \quad (\quad)$$

14-21 图示梁, 支座 B 沉陷 δ , 试用三弯矩方程求支反力并画弯矩图。弯曲刚度 EI 为常数。



题 14-21 图

解: 此为二度静不定问题。

原静不定梁的相当系统如图 14-21a 所示。

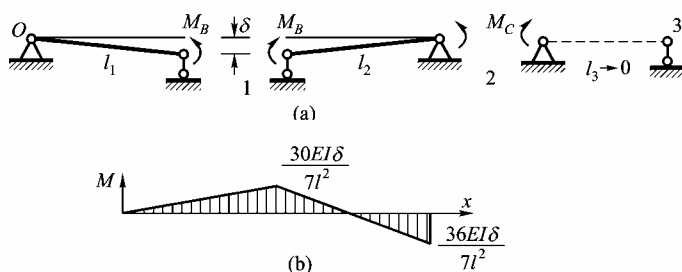


图 14-21

对于支座 B , 有

$$M_0 = 0, \quad M_1 = M_B, \quad M_2 = M_C; \quad l_1 = l_2 = l$$

$$I_1 = I_2 = I; \quad \alpha'_1 = -\frac{\delta}{l}, \quad \alpha''_1 = \frac{\delta}{l}$$

得相应三弯矩方程

$$4M_B l + M_C l = -6EI \left(-\frac{2\delta}{l} \right) \quad (\text{a})$$

对于支座 C , 有

$$M_1 = M_B, \quad M_2 = M_C, \quad M_3 = 0; \quad l_2 = l, \quad l_3 = 0$$

$$I_2 = I, \quad I_3 = \infty; \quad \alpha_2' = \frac{\delta}{l}, \quad \alpha_2'' = 0$$

由此得三弯矩方程

$$M_B l + 2M_C l = -6EI \left(\frac{\delta}{l} \right) \quad (\text{b})$$

将方程 (a) 与 (b) 联立求解, 得

$$M_B = \frac{30EI\delta}{7l^2}, \quad M_C = -\frac{36EI\delta}{7l^2}$$

进而可求得

$$F_{yA} = \frac{30EI\delta}{7l^3} \quad (), \quad F_{yB} = \frac{96EI\delta}{7l^3} \quad (), \quad F_{yC} = \frac{66EI\delta}{7l^3} \quad ()$$

该梁的弯矩图如图 14-21b 所示。